

## نقش عناصر آلیاژی و عملیات حرارتی پی درپی بر خواص مکانیکی چدن نشکن

محمود نیلی احمدآبادی

استادیار گروه مهندسی متالورژی - دانشکده فنی - دانشگاه تهران

حسین حاجی بهرامی

فارغ التحصیل کارشناسی دانشکده فنی - دانشگاه تهران

مهدی اوصیاء

فارغ التحصیل کارشناسی ارشد دانشکده فنی - دانشگاه تهران

(تاریخ دریافت: ۱۱/۱۸/۷۶ تاریخ تصویب: ۲۸/۶/۷۷)

### چکیده

انجام عملیات حرارتی آستمپرینگ پی درپی بروی چدن نشکن پرمنگنز نشان داد که خواص مکانیکی این چدن را با انجام این نوع عملیات تا حد بسیار زیادی می‌توان افزایش داد. به منظور بررسی تاثیر این عملیات حرارتی بر دیگر آلیاژهای چدن نشکن، چدن نشکن با ترکیب Ni-Cu-Mo بعنوان نمونه انتخاب گردید. نمونه‌های ضربه و کشش از آلیاژ فوق تهیه شده و کلیه نمونه‌ها در کوره حمام نمک در دمای  $900^{\circ}\text{C}$  به مدت ۹۰ دقیقه آستینیته و سپس در دمای بالایی آستمپرینگ  $375^{\circ}\text{C}$  و دمای پائینی آستمپرینگ  $315^{\circ}\text{C}$  در زمانهای مختلف تحت عملیات حرارتی پی درپی قرار گرفتند.

جهت بررسی ریز ساختار، نمونه‌ها توسط میکروسکوپ نوری مورد مطالعه قرار گرفتند. نتایج حاصل از آزمایش‌های ضربه نشان داد که انرژی ضربه تابعی از مدت زمان آستمپرینگ در دو دمای بالائی و پائینی این فرآیند است. علاوه بر این آزمایش‌ها نشان می‌دهد که عملیات حرارتی پی درپی برخلاف تصورات قبلی، خواص مکانیکی چدن نشکن Ni-Cu-Mo را نیز به میزان قابل توجهی افزایش می‌دهد که بیانگر امکان بکارگیری موقوفیت آمیز این روش برای ترکیب‌های شیمیائی مختلف چدن نشکن است. مقایسه نتایج حاصله از بکارگیری عملیات حرارتی پی درپی بروی آلیاژ این تحقیق و چدن نشکن پرمنگنز (۷۵% wt) نشان می‌دهد که استحکام کششی در چدن نشکن Ni-Cu-Mo بیش از چدن نشکن پرمنگنز است در حالیکه از دیاد طول دو آلیاژ نزدیک به هم می‌باشد که این امر احتمالاً ناشی از تاثیر منگنز در افزایش آستینیت باقیمانده است.

**کلید واژه‌ها:** چدن نشکن، بینایت، استینیت باقیمانده

### مقدمه

جهت بکارگیری ADI در ساخت قطعاتی نظری چرخدنده، میل لنگ، چرخ قطار و غیره صورت گرفته است [۱-۳]. در چدن نشکن به منظور جلوگیری از تشکیل پرلیت در عملیات حرارتی آستمپرینگ، باید عناصر آلیاژی مانند Ni، Mn، Mo و Cu اضافه نمود که در این میان Mn و Mo در مناطق بین سلولی و Ni و Cu در اطراف گرافیتها مجتمع می‌شوند. جدایش Mo ممکن است به تشکیل کاربید در

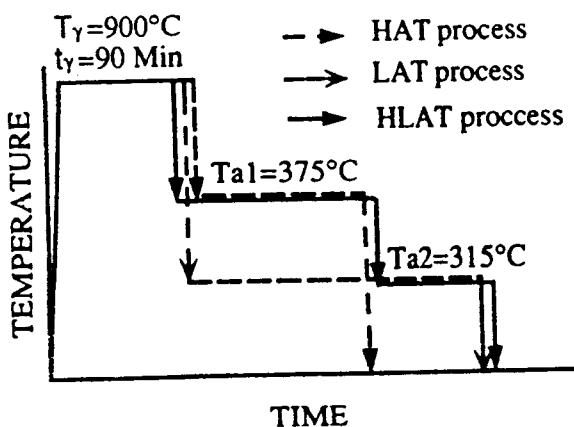
چدن‌های نشکن آستمپر (ADI) امروزه جایگزین بسیار مناسبی برای قطعات فولادی فورج شده می‌باشند. این جایگزینی از طرفی به دلیل خواص مکانیکی مناسب و مقاومت به سایش عالی و از سوی دیگر به علت امکان ریخته گری آسانتر چدنها و همچنین امکان تهیه قطعات پیچیده و ماشینکاری قبل از عملیات حرارتی می‌باشد. با استناد به این خواص است که امروزه تحقیقات وسیعی

آلیاژهای مورد استفاده در جدول ۱ آورده شده است.

جدول ۱: ترکیب شیمیایی نمونه ها بر حسب (wt%)

	C	Si	Mo	Mn	Ni	Cu	Mg
(آلیاژ ۱) Ni-Cu-Mo	۳/۴۵	۲/۶	۰/۳	۰/۳	۰/۵	۰/۵	۰/۰۴۵
(آلیاژ ۲) ۷۵% Mn	۳/۵	۲/۷۳	-	۰/۷۵	-	۰/۱۸	۰/۰۴

به منظور بررسی مقدار انرژی ضربه و بدست آوردن استحکام کششی، نمونه ها از Y بلوك تهیه و طی عملیات ماشینکاری به ابعاد استاندارد رسانده شدند. برای انجام عملیات حرارتی از سه کوره حمام نمک با دمای گاز آرگون به منظور حفاظت و یکنواخت نمودن دما استفاده شده است. یک کوره جهت آستینیته کردن در دمای ثابت  $900^{\circ}\text{C}$  و دو کوره نمک جهت عملیات حرارتی آستمپرینگ در دو دمای بالایی  $375^{\circ}\text{C}$  و دمای پایینی  $315^{\circ}\text{C}$  مورد استفاده قرار گرفتند. نمونه های ضربه ابتدا به مدت ۹۰ دقیقه تحت دمای  $900^{\circ}\text{C}$  آستینیته و سپس آستمپرینگ پی دریی در دو دمای ذکر شده و در زمانهای مختلف انجام شد. شکل ۱ مراحل مختلف این فرآیند را به صورت نمادین نشان می دهد.



شکل ۱: تصویر نمادین فرآیندهای مختلف عملیات حرارتی آستمپرینگ.

در فرآیند آستمپرینگ دو مرحله ای نمونه ها پس از آستینیته شدن بلا فاصله در مدت زمانهای  $30, 15$  و  $60$  دقیقه ابتدا در دمای بالایی  $375^{\circ}\text{C}$  و سپس بلا فاصله در مدت زمانهای مختلف در دمای پایینی  $315^{\circ}\text{C}$  نگهداری شدند

مناطق بین سلوالی بیانجامد و جدایش Mn در این مناطق باعث تاخیر استحاله در مناطق فوق شده که در نهایت ممکن است باعث تشکیل UAV<sup>(۱)</sup> در مناطق بین سلوالی شود. تشکیل مناطق UAV در ADI به دلیل تبدیل شدن به مارتنتزیت در این مناطق باعث کاهش شدید خواص مکانیکی چدن نشکن آستمپر می گردد. در این راستا به منظور مقابله با تاثیر منفی Mn بر خواص مکانیکی ADI، روش آستمپرینگ پی دریی ابداع گردید که باعث بهبود خواص مکانیکی چدن نشکن پرمنگنز حتی بالاتر از خواص مکانیکی چدن نشکن غیرآلیاژی گردید [۴-۵]. در این روش، تشکیل بینایت بالائی در مناطق اطراف گرافیت و بینایت تحتانی در مناطق بین سلوالی، ضمن آنکه تشکیل مناطق UAV را به حداقل می رساند، باعث افزایش آستینیت پرکرین نیز می گردد که این موارد، عوامل اصلی افزایش خواص مکانیکی چدن نشکن پرمنگنز هستند.

باتوجه به ضریب جدایش Mn ( $K = 0/7$ ) تاکنون تصور بر این بوده است که عملیات حرارتی آستمپرینگ پی دریی عمدها در چدن نشکن پرمنگنز کاربرد دارد و بدليل آنکه Ni, Mo و Cu دارای ضرایب جدایش متفاوتی در مقایسه با Mn می باشند لذا انجام این نوع عملیات حرارتی بر چدن نشکن با ترکیبات بدون منگنز تاثیر چندانی بر خواص مکانیکی ADI نخواهد داشت.

هدف از انجام این تحقیق بررسی تاثیر عملیات حرارتی آستمپرینگ پی دریی و همچنین مدت زمان آستمپرینگ بر خواص مکانیکی چدن نشکن کم منگنز در حضور عنصر آلیاژی Ni-Cu-Mo و مقایسه آن با خواص مکانیکی چدن نشکن پرمنگنز [۶] می باشد.

### روش تحقیق

جهت تهیه آلیاژ با ترکیب شیمیایی موردنظر، مواد اولیه در کوره زمینی ذوب و سپس عملیات تلقیح مذاب با روش غوطه وری با فرو سیلیسیم منیزیم ۵ درصد به منظور کروی کردن گرافیت ها و به دنبال آن جوانه زنی با فرو سیلیسیم ۷۵ درصد صورت گرفت. جهت تهیه نمونه ها ذوب ریزی در قالب ماسه ای به شکل Y بلوك  $25\text{mm}$  در دمای حدود  $1420^{\circ}\text{C}$  صورت گرفت. ترکیب شیمیایی

نشانده‌هندۀ مدت زمان آستمپرینگ در دمای پائین می‌باشد) را نشان می‌دهد. با توجه به مرفوولوژی بینایت در زمینه تصویر، چنین می‌توان استنباط نمود که گرافیت در سمت چپ تصویر قرار داشته و مناطق بین سلولی در سمت راست تصویر. چنانچه از تصویر مشخص است نه تنها تعداد فریتهای بینایتی در واحد سطح در اطراف گرافیت بیشتر از مناطق بین سلولی است بلکه مرفوولوژی آنها نیز متفاوت با بینایت دیگر مناطق می‌باشد.

در این تصویر فریتهای بینایت با مرفوولوژی‌های مختلف را می‌توان ملاحظه نمود: فریتهای بینایتی پرشکل در نواحی نزدیک گرافیت که در طی آستمپرینگ در دمای بالا تشکیل شده‌اند و دارای طول و پهنای بیشتری هستند، فریتهای سوزنی بین گرافیت و مناطق بین سلولی که بنظر می‌رسد دارای طول شاخه‌های کمتری نسبت به فریتهای تشکیل شده در نواحی نزدیک گرافیت می‌باشند و فریتهای سوزنی و هم محور در مناطق بین سلولی اختلاف در مرفوولوژی بینایت‌ها در تصویر ۲ را باستثنی ناشی از تغییر ترکیب زمینه از گرافیت تا مناطق بین سلولی و هم چنین آستمپرینگ دو مرحله‌ای دانست. بررسی‌های انجام

و پس از آن در آب کوئنچ شدن‌تا به دمای محیط برستند. در ادامه نمونه‌های کشش تحت سیکل عملیات حرارتی بهینه حاصله از آزمایش ضربه قرار گرفتند. آزمایش ضربه طبق استاندارد ASTM-A897 بر روی نمونه‌های چارپی بدون چاک با ابعاد  $10 \times 55 \text{ mm}$  در دمای محیط و با شرایط یکسان انجام پذیرفت. آزمایش کشش نیز طبق استاندارد و در دمای محیط توسط دستگاه آزمایش کشش ۱۰ تن با سرعت فک  $2 \text{ mm/s}$  انجام پذیرفت. پس از انجام آزمایشهای کشش، استحکام تسلیم و درصد ازدیاد طول مشخص گردید. جهت هر آزمایش ۳ نمونه آستمپر شده که میانگین نتایج حاصله مورد بررسی قرار گرفتند. نمونه‌ها جهت بررسی‌های متالوگرافی پس از عملیات پولیش با محلول ۲ درصد نایتال اچ گردیدند.

#### نتایج و بحث متالوگرافی

شکل ۲ تصویر متالوگرافی نمونه HLAT 30-480<sup>(۱)</sup> (عدد اول بیانگر مدت زمان آستمپرینگ در دمای بالا و عدد دوم



شکل ۲: ریزساختار نمونه HLAT 30-480 آلیاژ ۱. علم رسم نگهداری نمونه در دمای پائین برای مدت ۴۸۰ دقیقه، بینایت تحتانی در تصویر فوق به میزان کمی در مناطق بین سلولی مشاهده می‌شود.

B = بینایت هم محور      C = بینایت پائینی سوزنی شکل      A = بینایت بالائی پرشکل

بینایت بالائی و پائینی و همچنین بلوکهای آستینیت بخوبی قابل ملاحظه می باشند. در این شکل، پرشکل بودن بینایتهای بالائی بخوبی قابل رویت است و همچنین بینایتهای پائینی که بشکل سوزنی هستند و بعضًا شاخه های بسیار کوچکی از آنها منشعب شده است. در سمت چپ و پائین تصویر بینایتهای هم محور نیز دیده می شوند. شکل ۵ و ۶ تصویر میکروسکوپی و نمادین این فریتها که با استفاده از تصویر میکروسکوپ الکترونی عبوری تهیه شده را به شکل واضح تری نشان می دهد [۷]. در این تصویر سه نوع فریت بینایتی مختلف نشان داده شده است:

الف - فریتهای ۱، ۲، ۵ و ۷ که دارای شاخه های جانبی هستند متنه طول و تعداد شاخه های آن متفاوت است.

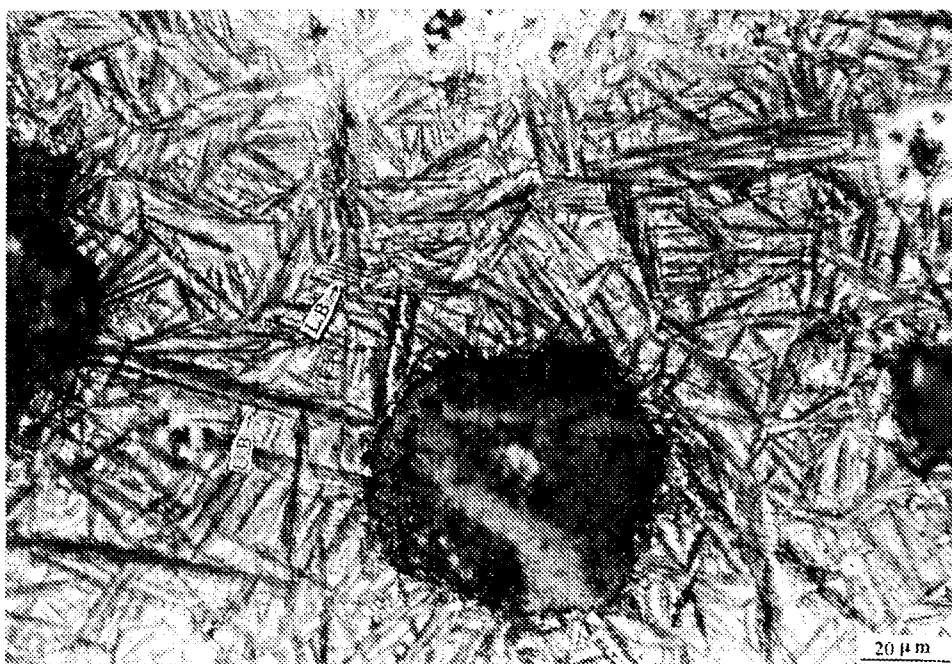
ب - فریتهای ۳ و ۴ که بدون شاخه های جانبی هستند.

ج - فریت ۶ که فریت هم محور است. فریتهای گروه الف عمدتاً در آستمپرینگ بالائی تشکیل می شوند که فریتهای ۱ و ۲ عمدتاً در نزدیکی گرافیت و فریتهای ۵ و ۷ در مناطق بین سولولی.

فریتهای گروه ب احتمالاً بینایتهای پائینی هستند که شکل سوزنی داشته و بدون شاخه های جانبی می باشند.

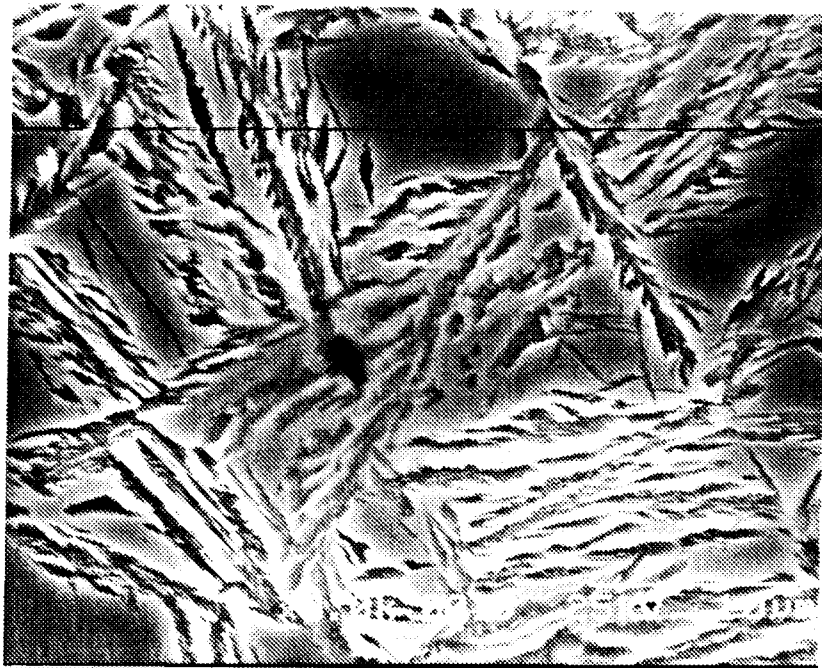
شده نشان می دهد که Si و Cu در نواحی اطراف گرافیت مجتمع شده در حالیکه Mo در مناطق بین سولولی مجتمع می شود. بدیهی است که عناصر فوق بدليل تجمعشان در نواحی مختلف و تاثیر آنها بر اکتیویته کربن استحاله بینایتی را تغییر داده که باعث تغییر در مرفوژی بینایت و تعداد بینایت در واحد سطح می شود [۴-۵]. از طرف دیگر از آنجاییکه نمونه قبل از پایان استحاله بینایتی در دمای بالا در دمای پایین کوئنچ می شود لذا بینایت تحتانی در مناطق واکنش نیافته تشکیل شده که میزان آن بستگی به مدت زمان نگهداری در دمای بالا و پائین دارد. این موضوع به خوبی در شکل ۳ که تصویر متالوگرافی نمونه HLAT-15-240 را نشان می دهد قابل مشاهده است. مقایسه این تصویر با تصویر شماره ۲ نشان می دهد که میزان بینایت پائینی این نمونه به مراتب بیشتر از بینایت بالائی بوده و مناطق استحاله نیافته کمی قابل ملاحظه است که علت این موارد را باستی در کوتاه بودن زمان آستمپرینگ در دمای بالا دانست.

شکل ۴ می تواند تصویر بهتری از مرفوژیهای مختلف بینایت را ارائه نمایند. در شکل ۴ که تصویر SEM ریزساختار نمونه HLAT-60-60 می باشد مرفوژی



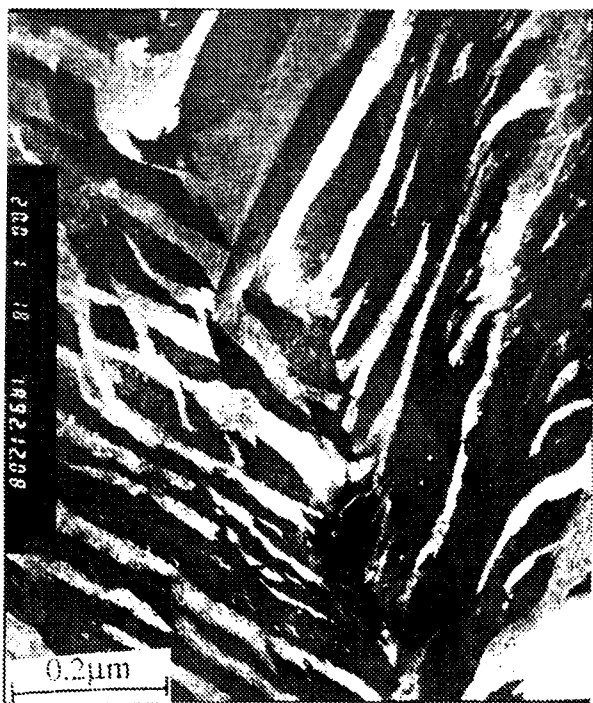
شکل ۳: ریزساختار نمونه HLAT-15-240

U.B. = بینایت بالائی      L.B. = بینایت پائینی



شکل ۴: تصویر SEM از ریزساختار نمونه HLAT-60-60.

### خواص مکانیکی مقاومت به ضربه



شکل ۵: تصویر میکروسکوپ الکترونی عبوری image(DF) از برگشت (۲۰۰) استینیت نمونه استمپر شده پی دربی [۷].

شکل ۷ تغییرات انرژی ضربه نمونه های HLAT-60, HLAT-30, HLAT-15 (۱)، LAT-120، HAT-240 (۲) که دارای انرژی ضربه بهینه آستمپرینگ یک مرحله ای در دمای  $375^{\circ}\text{C}$  و  $215^{\circ}\text{C}$  هستند را نشان می دهد [۸].

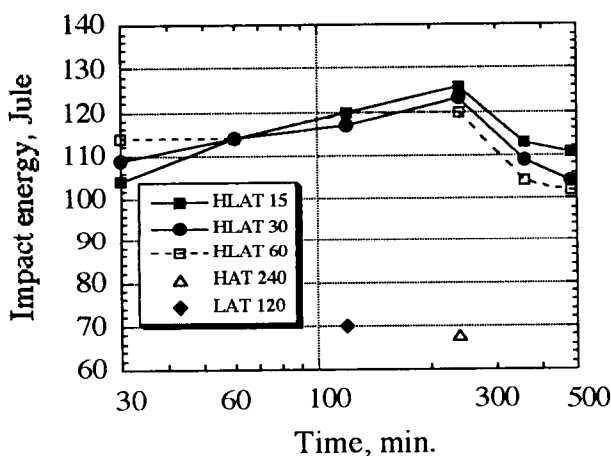
همانطور که ملاحظه می گردد آستمپرینگ پی دربی به میزان زیادی انرژی ضربه چدن نشکن Ni-Cu-Mo را در مقایسه با عملیات حرارتی یک مرحله ای بهبود داده است که این امر بیانگر نقش موثر عملیات حرارتی پی دربی در بهبود خواص مکانیکی است.

مقایسه نتایج انرژی ضربه نمونه های آستمپر شده پی دربی فوق نشان می دهد که هرچه زمان آستمپرینگ در مرحله اول کاهش یابد تاثیر عملیات حرارتی پی دربی بر افزایش انرژی ضربه بیشتر شده است. علاوه بر این کاهش بیشتر انرژی ضربه نمونه HLAT-60 در مقایسه با دیگر نمونه ها در زمان طولانی آستمپرینگ در دمای پایین تر به همراه مطالب بالا نشان می دهد که عامل اصلی کاهش انرژی ضربه باید عمدتاً ناشی از تجزیه آستینیت

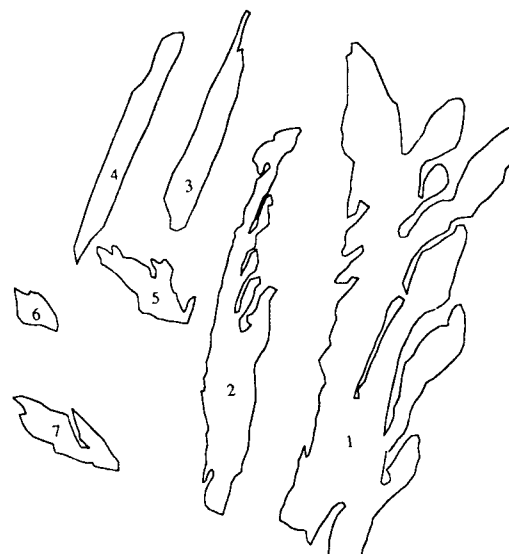
نمونه‌های پرمگنتز که در دمای  $375^{\circ}\text{C}$  برای مدت‌های ۳۰، ۴۵، ۶۰ دقیقه آستمپر شده‌اند را نشان می‌دهد. در این شکل ملاحظه می‌شود که حداکثر مقاومت به ضربه مربوط به نمونه HLAT-45-480 است و پس از آن نمونه HLAT-30 است که حداکثر مقاومت به ضربه آن در مدت زمان آستمپرینگ در دمای پائینی بین  $480\text{--}800$  دقیقه بدست می‌آید و این در حالی است که نمونه HLAT-60 کمترین مقاومت به ضربه را داشته و پس از مدت زمانی طولانی حدود ۱۰۰۰ دقیقه به حداکثر خود می‌رسد. این شکل نشان می‌دهد که مقاومت به ضربه بهینه نمونه‌های LAT و HAT که به ترتیب طی آستمپرینگ در زمانهای

باقیمانده و نه افزایش فریت‌های تحتانی باشد. زیرا نمونه HLAT-15 دارای بیشترین فریت بینایت تحتانی بوده و اگر فریت بینایت تحتانی عامل کنترل باشد کاهش انرژی ضربه در این نمونه باید بارزتر باشد. نکته دیگر این است که نمونه HLAT-60 به دلیل انکه در زمان طولانی تر در دمای  $375^{\circ}\text{C}$  قرار گرفته لذا باید دارای بیشترین آستینیت باقیمانده تشکیل شده در دمای بالا باشد. کاهش بیشتر انرژی ضربه این نمونه در زمان طولانی باید موج تجزیه آستینیت باقیمانده تشکیل شده در دمای بالا باشد تا آستینیت باقیمانده ناشی از آستمپرینگ در دمای پائین.

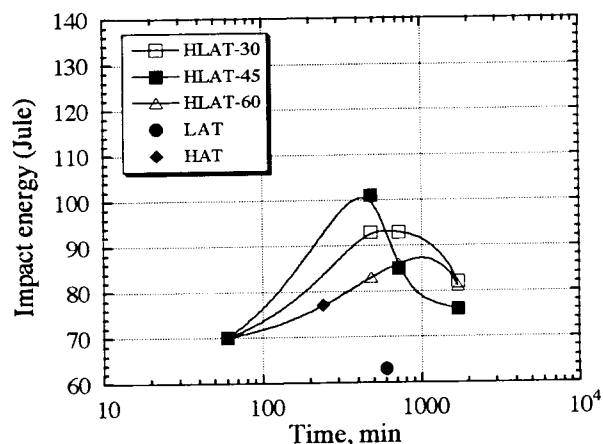
شکل ۸ تغییرات انرژی ضربه بر حسب زمان را برای



شکل ۷: مقایسه تغییرات انرژی بر حسب زمان مرحله دوم نمونه‌های استمپر شده پی درپی و همچنین نمونه‌های استمپر شده تک مرحله‌ای در دمای بالا و پائین آلیاز ۱.



شکل ۶: تصویر نمادین فریتهای بینایتی نشان داده شده در شکل ۵.



شکل ۸: مقایسه تغییرات انرژی بر حسب زمان مرحله دوم نمونه‌های استمپر شده پی درپی و همچنین نمونه‌های استمپر شده تک مرحله‌ای در دمای بالا و پائین آلیاز ۲ (پرمگنتز).

- ۶۰۰ و ۲۴۰ دقیقه بدست می‌آید، بسیار پائین تر از مقاومت به ضربه نمونه آستمپر شده پی درپی می‌باشد که این امر ناشی از کاهش UAV و افزایش آستینیت باقیمانده در نمونه‌های آستمپر دو مرحله‌ای می‌باشد.
- از بررسی اشکال ۷ و ۸ موارد ذیل را که در حقیقت مقایسه تاثیر عملیات حرارتی آستمپرینگ پی درپی بر دو آلیاز مختلف چند نشکن است می‌توان استخراج نمود.
- ۱ - مقاومت به ضربه نمونه‌های Ni-Mo-Cu (آلیاز ۱) حدود سی درصد بیش از مقاومت به ضربه نمونه‌های پرمگنتز (آلیاز ۲) می‌باشد.
  - ۲ - اگر فرض کیم که پنجره فرآیند عملیات حرارتی<sup>(۱)</sup> یعنی فاصله زمانی پایان استحاله مرحله اول و شروع

خواص مکانیکی بهینه نمونه آستمپر شده در دمای بالا است، درصد ازدیاد طول نسبتاً خوب ولی استحکام کششی آن پائین می باشد که این امر احیاناً به علت تشکیل بینایت بالایی به همراه آستنتیت واکنش نیافته است.

در مورد نمونه LAT-120 که دارای خواص مکانیکی بهینه نمونه های آستمپر شده در دمای پائین است ملاحظه می شود که نمونه ها دارای استحکام بیشتری نسبت به بینایت بالایی است . با توجه به نمودار ASTM در این دو عملیات حرارتی یعنی HAT و LAT حتی در حالت بهینه ، خواص نمونه ها زیر حد استاندارد هستند [۸].

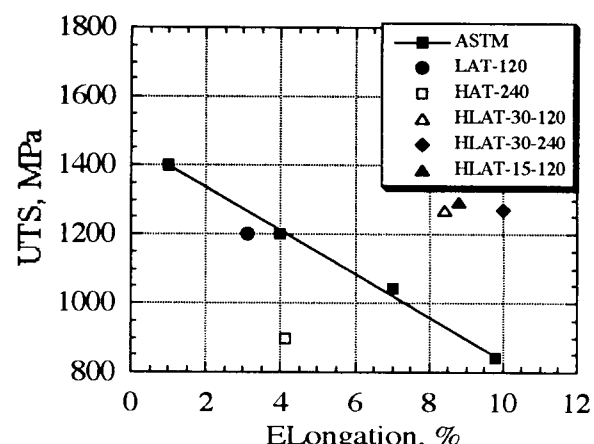
در بررسی عملیات حرارتی نمونه های HLAT دیده می شود که حداکثر درصد ازدیاد طول در مورد نمونه های HLAT-30-240 است که علت آن را می توان مدت زمان بهینه نگهداری در دمای بالایی  $375^{\circ}\text{C}$  جهت تشکیل مقدار کافی آستنتیت باقیمانده و همچنین زمان نگهداری بهینه در دمای پائینی  $315^{\circ}\text{C}$  جهت از بین رفتن UAV و یا کاهش مقدار آن و همچنین عدم شروع واکنش مرحله دوم یعنی تجزیه آستنتیت باقیمانده دانست. در مورد نمونه های دیگر نیز از روی نمودار می توان دریافت که تغییرات چندانی در میزان درصد ازدیاد طول و استحکام کششی مشاهده نشده است.

شکل ۱۰ تغییرات حداکثر استحکام کششی بر حسب ازدیاد طول نمونه های آستمپر شده تک مرحله ای و پی در پی به همراه استاندارد ASTM برای نمونه های چدن نشکن پرمنگنز نشان می دهد. این شکل نیز همانند شکل ۹ نشانده بوده تأثیر مثبت عملیات حرارتی پی در پی بر خواص مکانیکی چدن نشکن پرمنگنز می باشد . مقایسه اشکال ۹ و ۱۰ نشان می دهد که خواص مکانیکی نمونه های آلیاز ۱ که تحت عملیات حرارتی پی در پی قرار گرفته اند بالاتر از خواص مکانیکی نمونه های آلیاز ۲ است که دلیل آن را چنانچه در بخش مقاومت به ضربه توضیح داده شد می توان ناشی از تأثیر منفی منگنز بر ساختار چدن نشکن دانست .

### نتیجه گیری

۱ - انجام عملیات حرارتی پی در پی در مقایسه با عملیات

استحاله مرحله دوم معادل با مدت زمان آستمپرینگی است که نمونه ها حداکثر مقاومت به ضربه را از خود نشان می دهند لذا زمان پایان استحاله مرحله اول در نمونه های آلیاز ۱ به مراتب کوتاهتر از نمونه های آلیاز ۲ است (۱۲۰ تا ۲۴۰ دقیقه برای آلیاز ۱ در برابر ۴۸۰ دقیقه برای آلیاز ۲). از طرف دیگر به نظر می رسد که "پنجره فرآیند عملیات حرارتی" در نمونه های آلیاز ۱ طولانی تر از آلیاز ۲ است که این موارد از نقطه نظر کاربردی حائز اهمیت است. اختلاف در مقاومت به ضربه و سیستیک استحاله در آلیاز ۱ و ۲ را بایستی ناشی از ساختار اولیه چدن نشکن این دو آلیاز دانست. میزان زیاد عنصر منگنز علاوه بر آنکه جدایش زیادی را در زمینه چدن نشکن بوجود می آورد علاوه بر آن باعث می شود که کیفیت ساختار گرافیت ها نیز کاهش یابد که این عوامل در نهایت می تواند به کاهش خواص مکانیکی چدن نشکن آستمپر پرمنگنز در مقایسه با دیگر آلیاز های چدن بشود.



شکل ۹: تغییرات حداکثر استحکام کششی بر حسب ازدیاد طول نمونه های استمپر شده تک مرحله ای و پی در پی آلیاز ۱ به همراه استاندارد ASTM .

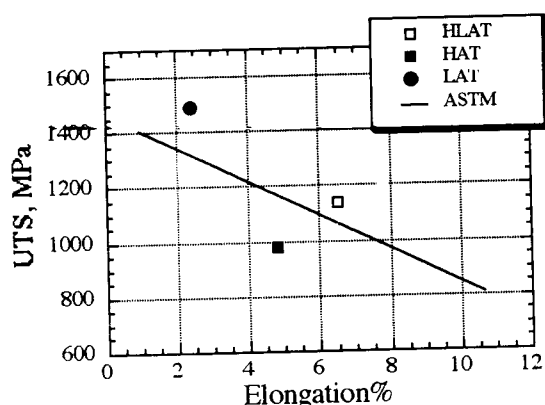
### آزمایش کشش

شکل ۹ تغییرات استحکام کششی در مقابل ازدیاد طول نمونه های آستمپر شده یک مرحله ای و دو مرحله ای چدن نشکن Ni-Cu-Mo به همراه استاندارد ASTM را نشان می دهد. با توجه به نمودار و مقایسه با استاندارد ASTM می توان مشاهده کرد نمونه HAT-240 که دارای

۳ - عامل اصلی کاهش مقاومت به ضربه در نمونه های آستمپر شده پس از احتمالاً تجزیه آستینیت باقیمانده در مرحله اول است.

۴ - در حالیکه نمونه های آستمپر شده یک مرحله ای دارای خواص مکانیکی کمتر از استاندارد ASTM هستند انجام آستمپرینگ پس از باعث افزایش خواص مکانیکی بالاتر از استاندارد می شود.

۵ - مقاومت به ضربه، استحکام کششی و ازدیاد طول نمونه های Cu-Ni-Mo بیش از نمونه های پر منگنز است که احتمالاً ناشی از تاثیر منفی Mn بر ریز ساختار چدن نشکن می باشد.



شکل ۱۰: تغییرات حد اکثر استحکام کششی بر حسب ازدیاد طول نمونه های استمپر شده تک مرحله ای و پس از آبیار ۲ به همراه استاندارد ASTM.

### تشکر و قدردانی

بدینوسیله از معاونت محترم پژوهشی دانشگاه تهران به خاطر تامین بودجه این تحقیق و همچنین از مرکز تحقیقات مهندسی جهاد سازندگی ، آقای مهندس ایزدی برای در اختیار قراردادن نتایج آزمایش های آستمپرینگ یک مرحله ای تشکر و قدردانی می گردد.

حرارتی یک مرحله ای باعث افزایش مقاومت به ضربه چدن نشکن آستمپر Cu-Ni-Mo و پر منگنز به میزان زیادی می گردد.

۲ - کاهش زمان آستمپرینگ در دمای بالا از ۶۰ دقیقه به ۱۵ دقیقه منجر به افزایش مقاومت به ضربه در نمونه های آستمپر شده Cu-Ni-Mo می گردد.

### مراجع

- 1 - Kovacs, B. V. (1990). "Modern Casting." 38.
- 2 - Harding, R. (1986). "2nd Int. Conf. on ADI, Ann Arbor USA." 39.
- 3 - Morgan, H. L. (1987). "British Foundryman." 80, 2, 98-108.
- 4 - Nili Ahmadabadi, M., Ohide, T., and Niyama, E. (1992). "Trans. of JFS." 11, 40-47.
- 5 - Nili Ahmadabadi, M., Ohide, T., and Niyama, E. (1992). "Cast Metals." 5, 2, 62-72.
- 6 - او صیاء، م. "پایان نامه کارشناسی ارشد، دانشکده فنی دانشگاه تهران." شهریور (۱۳۷۵).
- 7 - Nili Ahmadabadi, M. "To be Published in Metall. and Mat. Trans."
- 8 - بهمنی ایزدی، م. "گزارش داخلی مرکز تحقیقات مهندسی جهاد سازندگی." (۱۳۷۵).

### واژه نامه

5 - Heat Treatment Processing Window

پنجره فرایند عملیات حرارتی